



ANEXOS A LA SOLICITUD DE DEPÓSITO DE LA
LÍNEA CELULAR **PPMS PBiPS8-Sv4F-13** EN EL
BANCO NACIONAL DE LÍNEAS CELULARES

ANEXOS

Anexo 1: Fenotipo. Marcadores de pluripotencia

Anexo 2: Diferenciación *in vitro*

Anexo 3: Cariotipo

Anexo 4: Resultados microsatélites

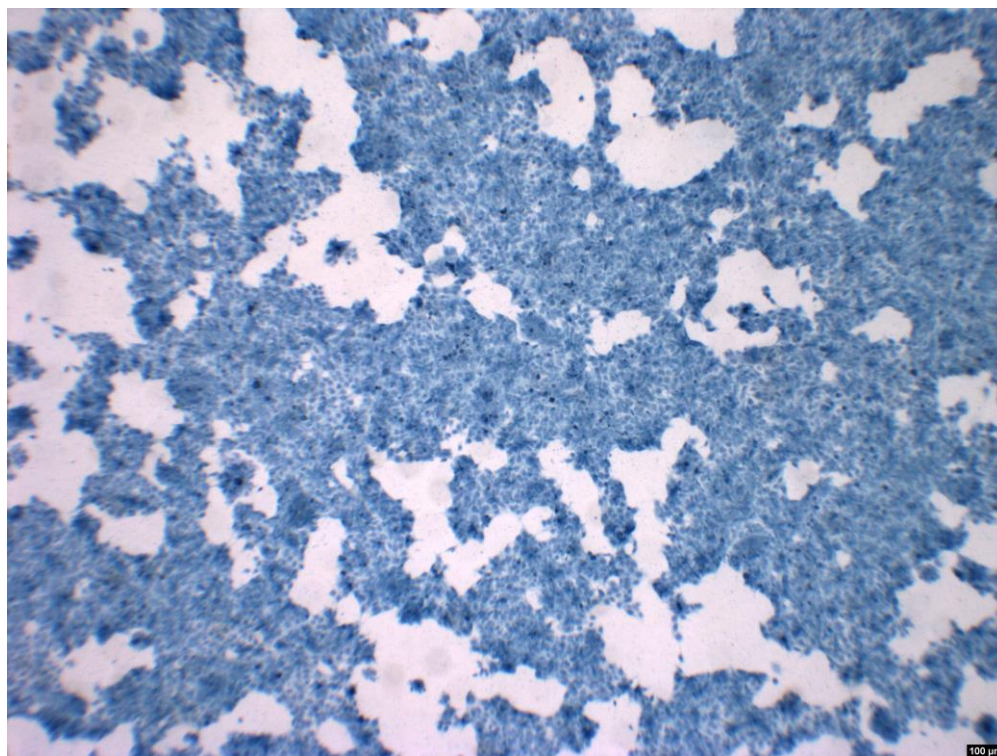
Anexo 5: Ausencia de los transgenes de reprogramación

Anexo 6: Resultado test de micoplasma

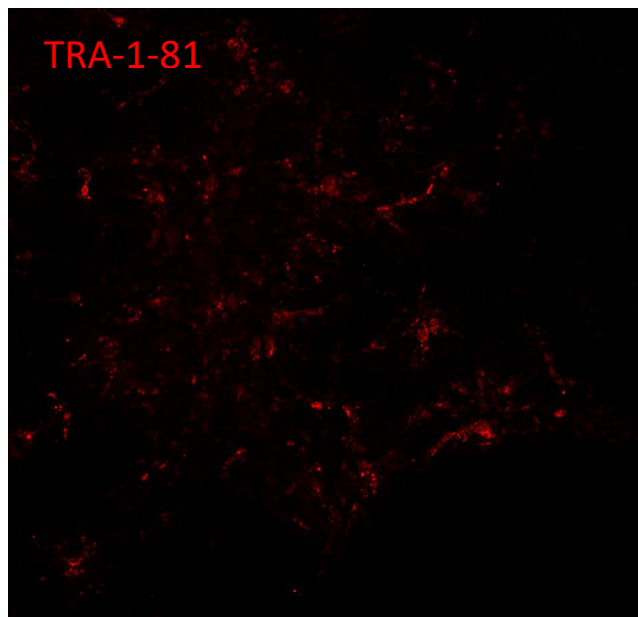
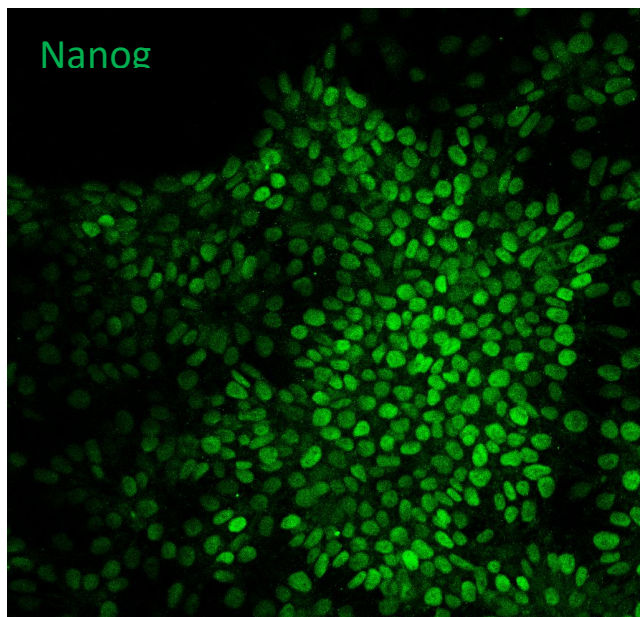


Anexo 1

Fenotipo. Marcadores de pluripotencia

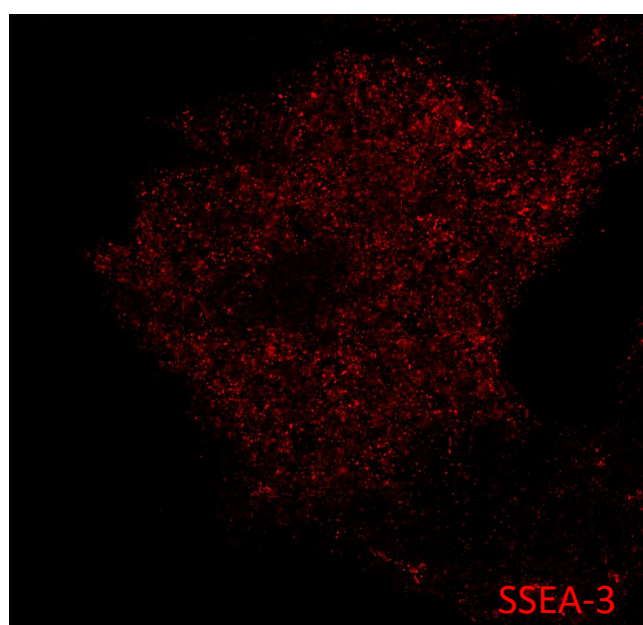
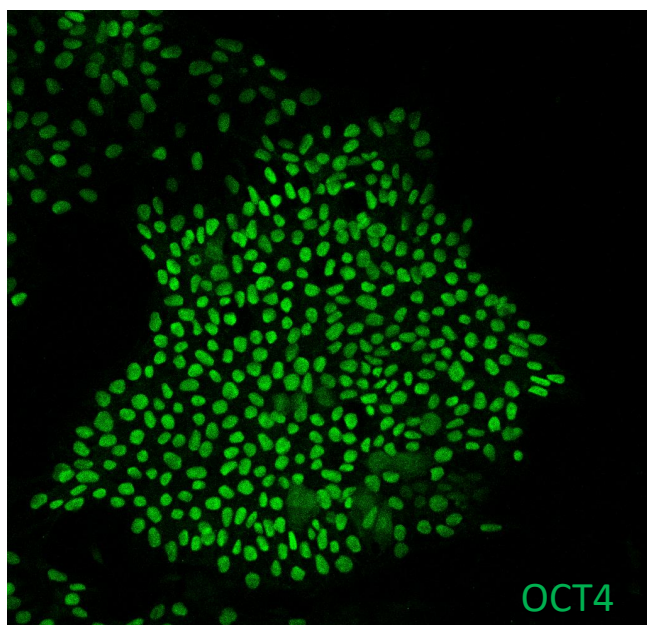


Actividad **fosfatasa alcalina** de la línea de células pluripotentes



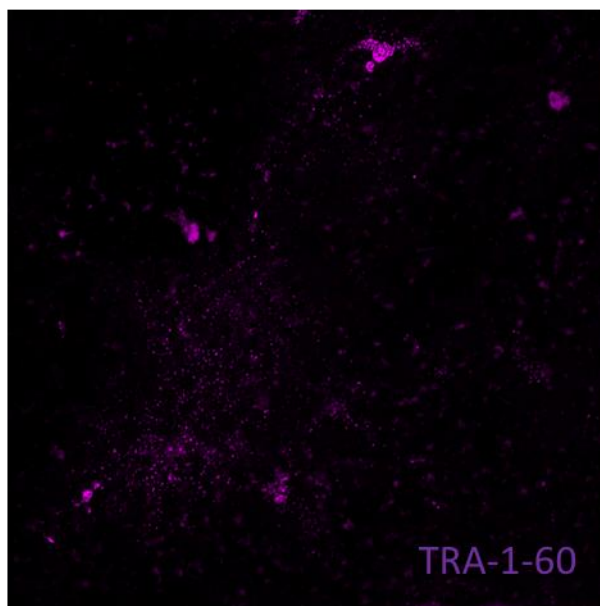
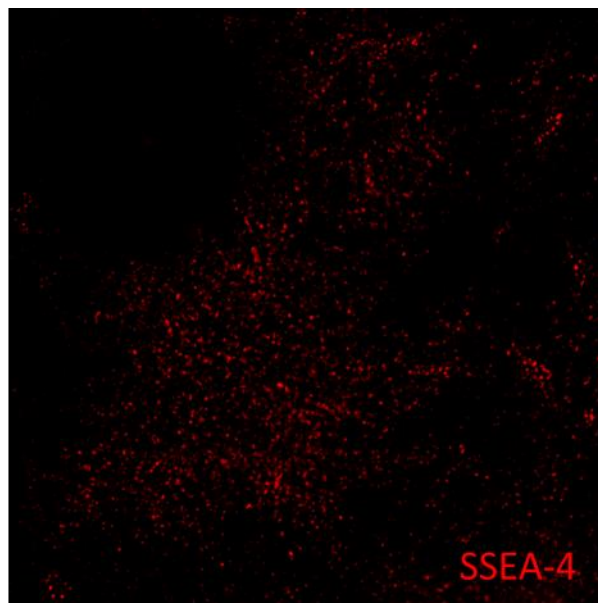
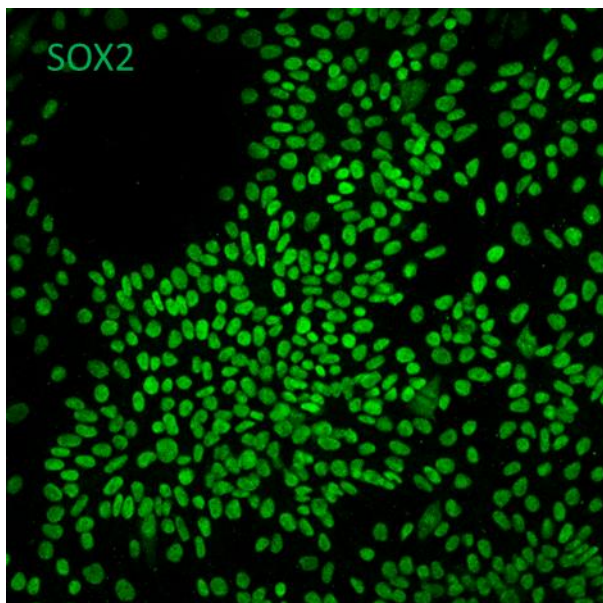
Resultado positivo por inmunocitoquímica para las proteínas de pluripotencia

Nanog y TRA1-81



Resultado positivo por inmunocitoquímica para las proteínas de pluripotencia

Oct-4 y SSEA-3



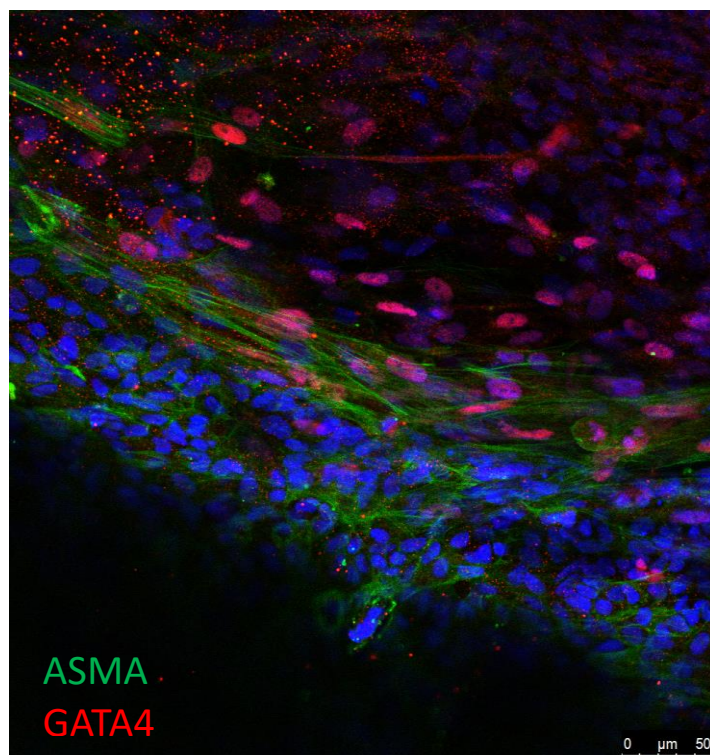
Resultado positivo por inmunocitoquímica para las proteínas de pluripotencia

Sox-2, SSEA-4 y TRA1-60

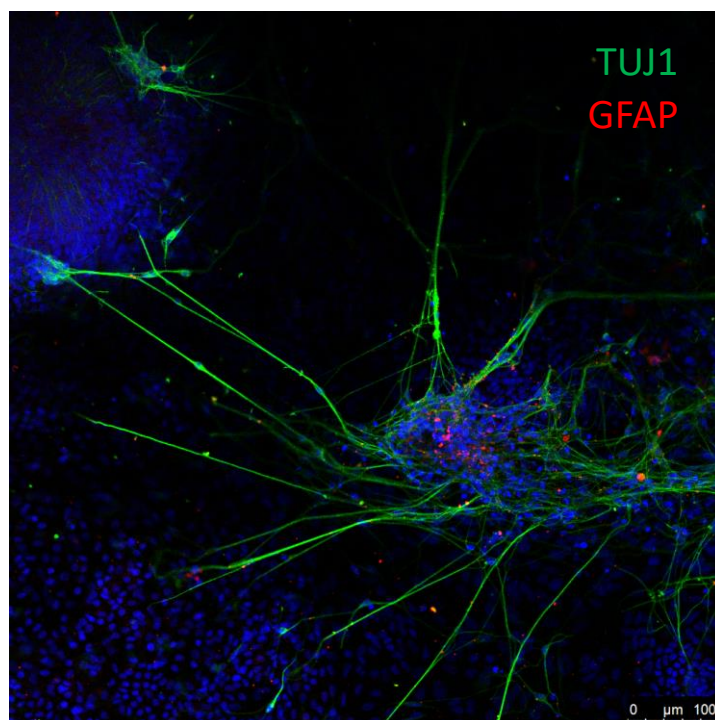


Anexo 2

Diferenciación *in vitro*



Diferenciación *in vitro* a mesodermo: Células positivas para **ASMA** y **GATA4**



Diferenciación *in vitro* a ectodermo: Células positivas para **Tuj1** Y **GFAP**



Diferenciación *in vitro* a endodermo: Células positivas para **AFP y FOXA2**



Anexo 3

Cariotipo

CYTOGENETICS STUDY

Case name: 22500839

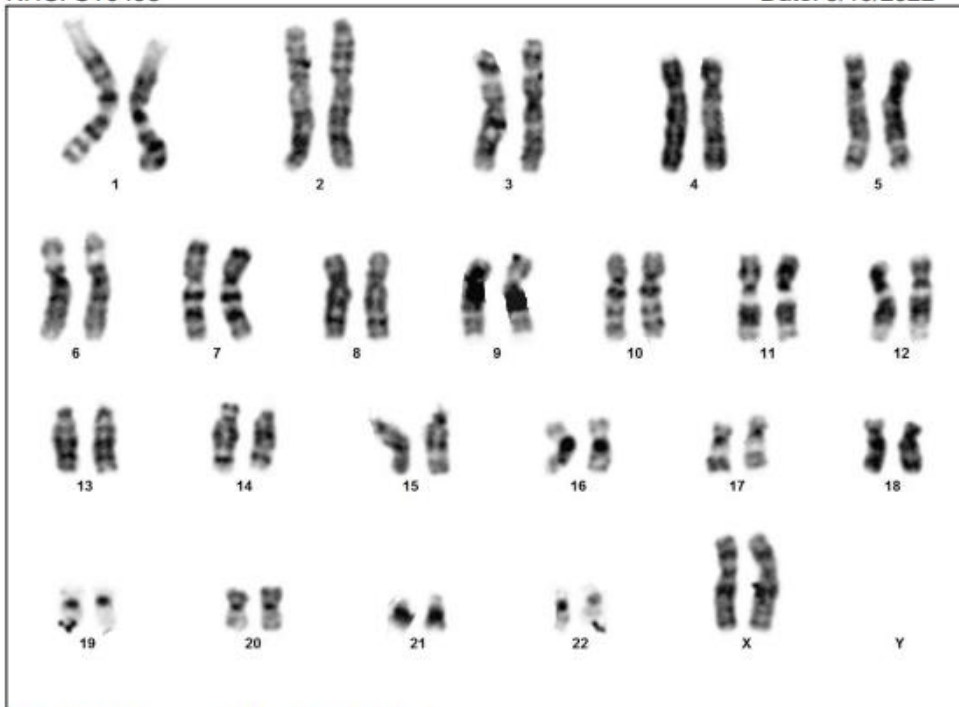
Department: IDIBELL

Name: PPMS PBiPS8-Sv4f-13 p14

Sample: CM

NHC: CT0498

Date: 9/19/2022



Case: 22500839 Slide: 2 Cell: 3F

Result: 46,XX



Anexo 4

Resultado microsátélites

P-CMR[C]

RESULTADOS:

En la siguiente tabla se indican los resultados correspondientes a las variantes alélicas para cada locus STR en la muestra analizada.

Línea celular	Loci STRs analizados									
	TH01	D21S11	D5S818	D13S317	D7S820	D16S539	CSF1PO	AMEL	vWA	TPOX
PPMS PBiPS8-Sv4F-13 p12	6	28; 32.2	11; 12	9; 12	12	8; 14	10; 11	X	16; 18	8

Barcelona, a 19 de septiembre de 2022

Laboratorio Biología Molecular

P-CMR[C]

RESULTADOS:

En la siguiente tabla se indican los resultados correspondientes a las variantes alélicas para cada locus STR en la muestra analizada.

Línea celular	Loci STRs analizados									
	TH01	D21S11	D5S818	D13S317	D7S820	D16S539	CSF1PO	AMEL	vWA	TPOX
WB SAP12133044, 17.03.22	6	28; 32.2	11; 12	9; 12	12	8; 14	10; 11	X	16; 18	8

Barcelona, a 07 de abril de 2022

Laboratorio Biología Molecular

Análisis de microsatélites en la línea de hiPSC y en las células de las que procede.

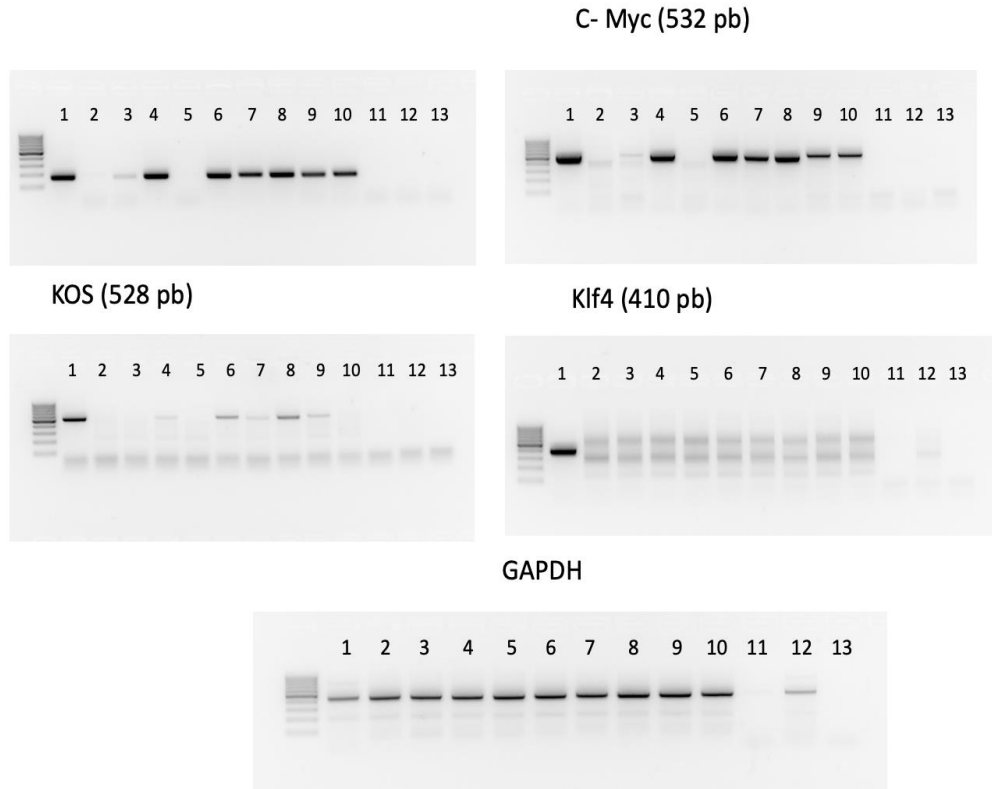


Anexo 5

Ausencia de los transgenes de reprogramación

RT-PCR SENDAI 2.0

01/07/2022



1. PMM2 FB20484 Sv-Inf, 0,5M cells, 16.02.2021
2. PPMS PBiPS8 Sv4F-4, P7, mg, 27.06.22
3. PPMS PBiPS8 Sv4F-9, P7, mg, 14.06.22
4. PPMS PBiPS8 Sv4F-12, P7, mg, 13.06.22
5. PPMS PBiPS8 Sv4F-13, P7, mg, 13.06.22
6. PPMS PBiPS10 Sv4F-1, P7, mg, 20.06.22
7. PPMS PBiPS10 Sv4F-3, P7, mg, 26.06.22
8. PPMS PBiPS10 Sv4F-4, P7, mg, 27.06.22
9. PPMS PBiPS10 Sv4F-6, P7, mg, 21.06.22
10. TAC PBiPS1-Sv4F-2 (TAC-2) p7
11. Sample NO RT
12. Rb20234-C17 p12 (NEGATIVE CONTROL EPISOMAL SAMPLE)

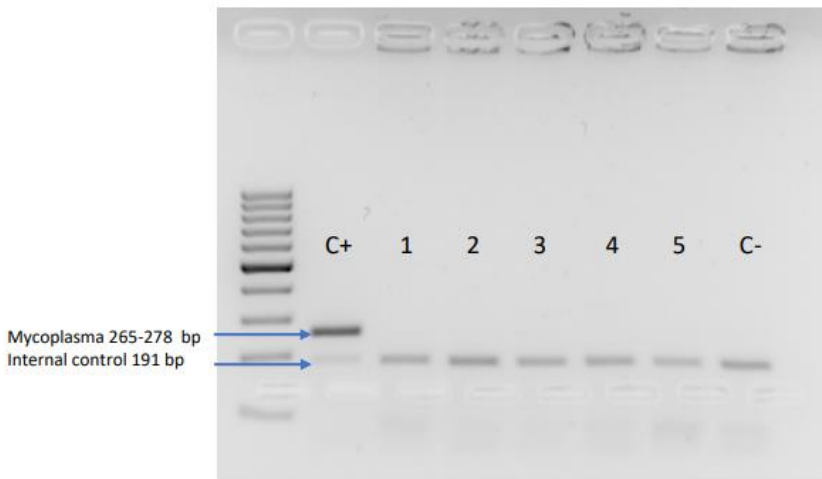
Ausencia de los transgenes de reprogramación. Análisis por RT-PCR de los niveles de expresión de los transgenes indicados. Se muestra expresión relativa a GAPDH



Anexo 6

Resultado test de micoplasma

Mycoplasma test (VenorGeM Classic kit) 23/08/2022



1. SP11 GRION-KO-5 p28 (GRIN-5)
2. SP11 LG1-KO-11c p24 (LG1-11c)
3. PPMS PBiPS7-Sv4F-5 p8 (MS7-5)
4. PPMS PBiPS8-Sv4F-13
5. PMM2 CDG FiPS01-Sv4F-11 p6 (01-11)